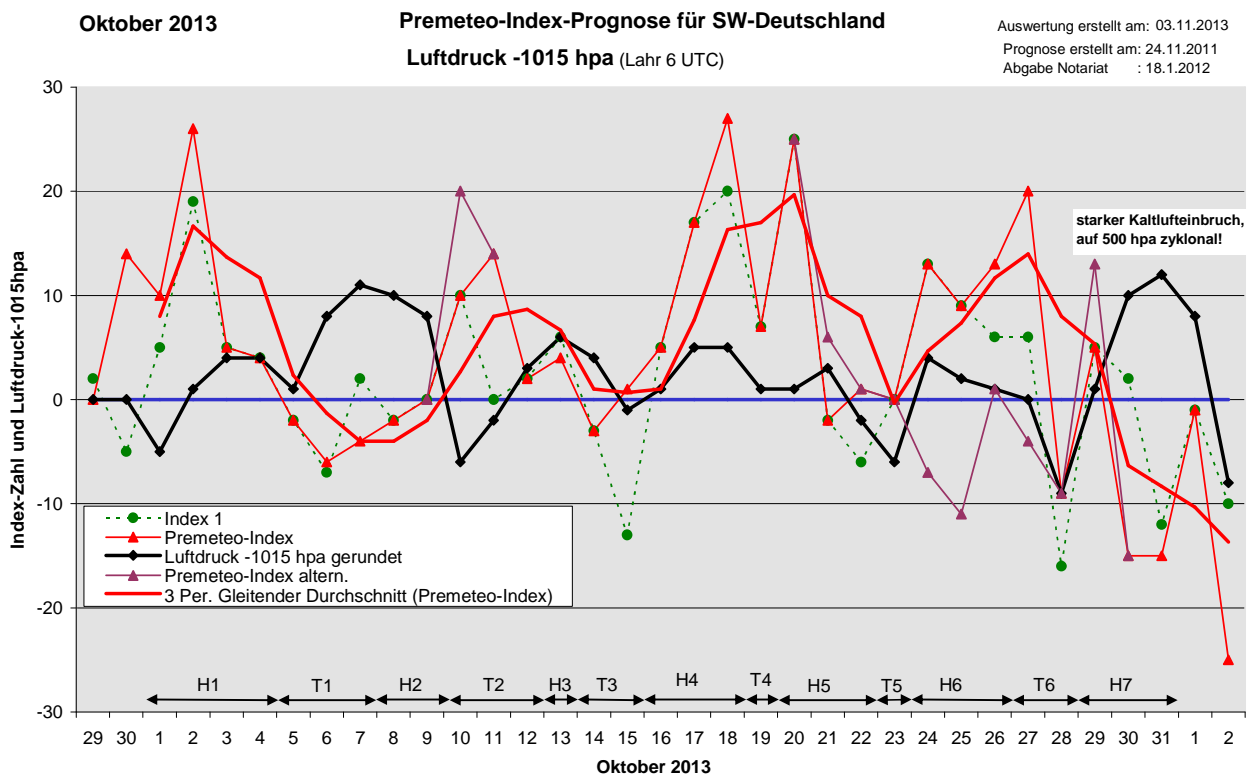


Wetterlagenverlauf Oktober 2013 im Vergleich zur Premeteo-Indexprognose für Südwest-Deutschland

(Im Diagramm sind über der Datumsachse die real eingetreten Hoch- und Tiefdruckphasen durch Doppelpfeile eingetragen. Ausschlaggebend für die Evaluation ist der tägliche Premeteo-Index, in der dünneren, roten Linie mit Dreieckspunkten dargestellt. Ein negativer Premeteo-Index zeigt die Wahrscheinlichkeit für eine zyklonale Tiefdruckströmung, ein positiver Premeteo-Index die Wahrscheinlichkeit für eine antizyklonale Hochdruckströmung an.

Die Wetterlagenbeschreibungen wurden anhand der Berliner Wetterkarten erstellt. Ausschlaggebend ist die Europa-Bodenkarte um 0 UTC, die feiner skalierte 12 UTC-Karte von Mitteleuropa wird nur bei einem Wetterlagenwechsel für die Einordnung des Tages hinzugezogen.)



Hochdruckphase 1: Hoch Karin über Skandinavien bestimmte die ersten Tage des Oktober bis zum 4. entsprechend dem Premeteo-Index das südwestdeutsche Wetter. Der Premeteo-Index summierte auf +45.

Tiefdruckphase 1: Am Abend des 4. Oktober griff der Trog von Tief Werner, das sich in den vorangegangenen Tagen mit seinem Kern vom Ostatlantik nach Norden bis nach Jan Mayen bewegt hatte, auf unsere Region über. Es kam zu starken Niederschlägen, der Kern des Tiefs bewegte sich nach Südostdeutschland, dann nach Norditalien am 7. Oktober. Dabei bildete sich über Deutschland die Hochdruckbrücke Liane aus. Diese ließ den Luftdruck ansteigen, doch blieb die südwestdeutsche Region noch diesen einen Tag im Isobarenbereich des Tiefdruckgebiets über dem Mittelmeerraum, ebenso auf 500hpa. So blieb es auch entsprechend dicht bewölkt. Der Premeteo-Index summierte auf -12.

Hochdruckphase 2: Am 8. und 9. kam Südwestdeutschland auf Meeressniveau in den Isobarenbereich von Hoch Liane mit Kernen über Westfrankreich und Tschechien. Auf 500 hpa blieb die zyklonale Strömung bestehen. Der Premeteo-Index belief sich auf -2.

Tiefdruckphase 2: Am 10. und 11. hatte der Premeteo-Index vorübergehend hohe Werte, während Tief Xenon von Skandinavien nach Deutschland vordrang, starke Niederschläge und eine starke Abkühlung brachte. Die Fehlprognose kam am 10. durch den Mondknoten-Aspekt QUA 45 KN1 H* (12/2), er war mit +11 Punkten

eingerechnet worden, aber er fand sich im realen Wetterablauf überhaupt nicht wieder. Stattdessen setzten sich die beiden T-Aspekte von Mars und Venus intensiv durch: Mar 120° Gaz und Ven 90° Nep, wobei letzterer ein typischer Aspekt für Kaltlufteinbrüche ist. Am 11. kam der hohe, positive Wert durch eine Symmetrie zustande. Es standen zwei gegenläufige Venussymmetrien zur Wahl: Ven 23 Sat GaZ (10) H*(12,5/2) +14 und Hau 44 Ven Orc (20) T T* T -14. Aus Gründen der Rangfolge wurde die erste ausgewählt, aber wegen Mar 120° Gaz T hätte dies wohl nicht ausgewählt werden dürfen. Das Tief Xenon war vor allem auch auf 500 hpa als geschlossener Wirbel besonders ausgeprägt vorhanden. Mars hatte nicht nur den T-Aspekt mit dem Galaktischen Zentrum, sondern auch einen 72°-Winkel zum aufsteigenden Mondknoten. Der Premeteo-Index summierte über die ganze Phase auf +22.

Hochdruckphase 3: Ein Hoch über den Alpen bescherte am 13. etwas Sonne. Der Premeteo-Index betrug +4.

Tiefdruckphase 3: Am 14. und 15. nahm wiederum Tief Xenon über Großbritannien bzw. Nordsee Einfluss auf die südwestdeutsche Region. Am 15. setzte sich vor allem der Index 1 mit seinen -13 Punkten durch. Es waren zwei Mars- und zwei Venus-T-Aspekte. Die angerechnete H-Symmetrie mit dem Supergalaktischen Zentrum kam nicht zum Zuge. Es gab besonders starke und anhaltende Niederschläge. Der Premeteo-Index summierte auf -2.

Hochdruckphase 4: Am 16. kam die Region unter Hochdruckeinfluss. Das Hoch Nastassja bewegte sich über Frankreich nach Süddeutschland und bestimmte die Strömung bis zum 18. Der Premeteo-Index summierte auf +59.

Tiefdruckphase 4: Im Laufe des 19., bei überwiegend klarer Atmosphäre und viel Sonnenschein, dehnte sich der Isobarenbereich von Tief Yannik I über dem Ostatlantik bis über unsere Region aus. Zu Niederschlägen kam es erst in der Nacht und am nächsten Tag bei bereits wieder steigendem Druck. Der Premeteo-Index zeigte für diesen Tag mit +7 eine steile Spitze nach unten, blieb aber im positiven Bereich. Ebenso blieb auf 500hpa eine antizyklonale Strömung flach erhalten.

Hochdruckphase 5: Am 20., bei steigendem Druck und starken Niederschlägen, kam die Region wieder in den Bereich von Hoch Nastassja, das nun mit seinem Kern schon über dem Südostbalkan angekommen war. Es bewegte sich weiter bis in die Türkei und bestimmte dabei weiterhin bis zum 22. flach die Strömung unserer Region. Am 21. war der Premeteo-Index mit -2 falsch, aber es gab einen richtigen, positiven alternativen Premeteo-Index von +6. Dies war durch eine Prognoseunsicherheit mit zwei Venus-Aspekten gewesen, die mit gegensätzlichem Impuls auftraten: VEN 144 JUP Hf 0/+8 und VEN 72 GSZ T -2 / 0

Der Premeteo-Index summierte über die ganze Phase auf +24.

Tiefdruckphase 5: Am 23. stieß Tief Zenith mit seinem Trog nach Süden vor. Der Premeteo-Index hatte 0 Punkte.

Hochdruckphase 6: Der Druck stieg recht rasch wieder an und bestätigte eine Sonderregel zur Konjunktion von Mars mit Orcus, der ein H-Aspekt ist und auch dominant über den hochrangigen Auslöseaspekt Orc 45 Hau T-11 blieb. Dies wurde im November 2011 entdeckt und hat sich nun bei der Wiederkehr bestätigt und eine Fehlprognose verhindert. Hoch Oldenburgia über dem südrussischen Raum beherrschte die Wetterlage bis zum 26. Der Premeteo-Index summierte auf +35.

Tiefdruckphase 6: Der Premeteo-Index hatte am 27. plus 20 Punkte, aber der alternative Index -4. Es waren wieder zwei Venus-Aspekte mit gegenteiligem Impuls: VEN 150 JUP Tf K 0/-8 und VEN 144 VAR H +2/0. Die Tiefdruckströmung von Tief Burkhard über dem Nordostatlantik setzte sich durch. Es wehte ein starker, böiger Wind. Tief Christian übernahm die Regie am 28. von Großbritannien aus und an

diesem Tag wies auch der Premeteo-Index einen negativen Wert von -9 auf. Der Premeteo-Index summierte auf +11.

Hochdruckphase 7: An der Rückseite von Tief Burkhard-Christian strömte am 29. kalte Luft nach Mitteleuropa, die die Atmosphäre in der Bodenschicht stabilisierte und das Hochdruckgebiet Petra ausbildete während auf 500 hpa die Strömung entsprechend dem Premeteo-Index, der am 30. und 31. je -15 Punkte anzeigte, zyklonal blieb. Die Tagesmitteltemperatur hatte in Lahr am 28. Oktober +17,8°C betragen, am 31. waren es nur noch 4,6°C! So hatte hier die Abweichung von den kosmischen Vorgaben ihren Grund, wie so oft, in starken thermodynamischen Bedingungen der bodennahen Atmosphäre. Der negative Index kam am 30. aus der Symmetrie Cer 22 Orc Hau (07) T* -14, die begleitet war von der bis jetzt nicht bewertbaren Symmetrie Mak 2 GSZ Cer (07) ? H* ?. Der Premeteo-Index summierte auf -25.

Zusammenfassung

Mit 10 Fehlprognosetagen bezüglich des Premeteo-Index-Vorzeichens war die Prognose durchschnittlich ausgefallen. Fünf der Fehlprognosetage hatten nur einen flachen Premeteo-Index, in 4 Fällen entsprach die Strömung auf 500 hpa weiterhin dem Index, in einem Fall war ein richtiger, alternativer Index angegeben worden. So waren es eigentlich nur der 10. und der 12. Oktober, die eine wirklich gravierende Fehlprognose darstellten, deren konstellatorischer Hintergrund ausführlich in der Beschreibung des Wetterlagenverlaufs erörtert wird.

Die Symbolprognose hatte mit 8 falschen zu 9 richtigen Tagen ein schlechtes Verhältnis und der Anteil der tendenziell richtigen Tage war mit 14 hoch, was immer wieder zeigt, wie sehr die Bewölkung neben den Strömungsbedingungen doch von den Temperatur und Feuchtigkeitsverhältnissen der Luftmassen abhängt.

SW-D befand sich an 19 Tagen im Einflussbereich antizyklonaler Strömung. Die Summe des prognostizierten Premeteo-Index für diese Tage ergibt +140, das einer Indexzahl von +7,37 pro Tag entspricht.

An 12 Tagen befand sich SW-D im Einflussbereich zyklonaler Strömung. Die Summe des prognostizierten Premeteo-Index für diese Tage ergibt +26, das einer Indexzahl pro Tag von +2,17 entspricht.

Die Prognose durch die Premeteo-Wettersymbole war an 8 Tagen falsch (am 1, 10, 11, 20., 25., 27., 30., 31.), an 9 Tagen richtig und an 14 Tagen tendenziell richtig.

Oktober 2013  **Prognose für SW-Deutschland**

01.10.2013										
Langsamläufer-Impulse		H*	H*						H*	H*
Schnellläufer-Impulse	3H	H, T	T, 2H	2T, H	T	2T, H	2T, H	2H, T	Hf	2T
Temperaturimpulse	W	K		K						K
Premeteo-Index -zyklonal, + antizyklonal (Index 1+2+3)	10	26	5	4	-2	-6	-4	-2	0	10
Pre.IX (ALTERNATIV)										20
Index 1 (12 - 12 UTC) exakte Aspekte des Tages	5	19	5	4	-2	-7	2	-2	0	10
Index 1(ALTERNATIV)										20
Symmetrien (0 - 0 UTC)		Nep 144 Son Var (12) A W H* H +7 Jun 70p Pal Var (15) A* H* +7??	Son 30 Sat Ves (14) T A A* ---	Son 9 Hau GSZ (03) A T -?? Ves 6 Orc Cer (05) H* H?(4/12) +7? Son 75 Var GaZ (21) ? ---	Plu 135 Mar Sed (08) A A?(2/2,5) T --- Eri 145 Van Cer (15) T H* T +7? Nep 90p Mar Ves (19) H A* +7??	Plu 61 Chi Mar (05) A?(3/3) T A --- Mer 164 Sed Eri (10) ? 0 Mar 134 Ura Plu (17) T A A?(2,5/2) -7		Mar 37 Jup GSZ (06) H* 0	Son 60p Ura Eri (12) H H +7??	Orc 8 Mar Ves (15) H H* +7? Chi 40p Ves Orc (23) A* T?(2/4) -??
Index 2 (12-12 UTC)	0	7	0	0	0	0	-7	0	0	0
Index 2 ALTERNATIV										
ausgelöste LL-Aspekte	Pal 90 Sat H5					Mer 45 Qua H1	Mer 45 Qua H1			
Index 3 (Summe)	5	0	0	0	0	1	1	0	0	0
Index 3 ALTERNATIV										
Symbol-Prognose	2	2	3	3	3	3	3	3	3	2
Symbol-Prognose altern.	2	2	3	3	3	3	3	3	3	2
Wochentag	Di	Mi	Do	Fr	Sa	So	Mo	Di	Mi	Do
Datum	1	2	3	4	5	6	7	8	9	10
reale Wetterlage	H1: Hf*, H*, 7H - 4T / +45				T1: 5T - 2H / -12			H2: H*, Hf, 2H - T / -2		T2: --
Luftdruck (hpa) 06 UTC	1010,4	1016,1	1019,4	1019,2	1015,8	1022,7	1025,7	1024,6	1023,3	1009
mittl. Temp.(°C)	13,3	12,4	11,3	14,6	15,2	13,4	13,2	12,7	13,9	9,3
Sonnenscheindauer (h)	0,3	7,9	5,3	0,9	0,1	.	1,1	.	0,7	1,5
Niederschlag (Liter)	.	.	0,0	13 / 13	32 / 25,5	1 / 0	0,0	0,0	8	11 / 15
Bodenwetterlage 00 UTC (Kernlage des Druckgebietes, das SW-D beeinflusst)	H ü S-Skand	H ü S-Skand	H ü N-Polen	H ü Polen, T ü GB	T ü O-F	T ü SO-D	T ü N-Ital, H ü Benel	H ü W- u. M-Eu, T ü ThyrrM u. Italien	H ü Atlantik, H ü Krim	T ü S-Skand
Bodenströmung 12 UTC zyklonal (z), antizyklonal (a)	a	a	fl a	a-z	z	z	z	a	fl a	fl a
Strömung auf 500 hpa 00 UTC	NW fl a	W a	W a	W a	SW fl a	z	O z	O z	fl z	Wz
zutreffende Wettersymbole	3-5 f	2-3 r	3 r	3-5 hr	5 hr	5 hr	5 hr	5 hr	5 hr	5 f

Übertrag
Index 1: 0
Index 2: 0

VEN 150 ERI SKO 22°32'26" WID 22°32'28" H +2	01:00 VES 144 JUN JUN 10°03'25" WAS 04°03'25" H* +11	01:02 PLU 60 KN1 STE 09°01'46" SKO 09°01'46" A*	00:51 SON 30 VES WAA 10°58'27" JUN 10°58'28" A	01:02 SAT 150 URA SKO 10°27'54" WID 10°27'55" A*	04:42 PAL 30 APO LÖW 13°19'25" KRE 13°19'25" A*	00:10 MER 60 PLU SKO 09°03'33" STE 09°03'34" T -1	01:58 SON 72 GaZ WAA 14°56'14" SCH 26°56'13" H +3	01:28 SON 144 CHI WAA 15°54'30" FIS 09°54'31" A	01:04 QUA 45 KN1 SCH 23°39'34" SKO 08°39'34" von	00:31
06:05 MER 30 GSZ SKO 02°11'54" WAA 02°14'54" A	01:29 SON 90 PLU WAA 09°01'25" STE 09°01'25" A	01:52 MAR 120 ERI LÖW 22°31'17" WID 22°31'16" T-3	16:11 SON 72 QUA WAA 11°35'46" SCH 23°35'46" A*	13:30 VES 45 VAR JUN 11°40'14" KRE 26°40'14" A*	06:08 VEN 135 APO SKO 28°21'04" KRE 13°21'05" T -2	11:43 VEN 60 FY9 SKO 29°42'53" JUN 29°42'54" H +2	03:39 VEN 72 CER SCH 00°26'52" JUN 18°26'52" T -2	09:10 PLU 144 PAL STE 09°04'49" LÖW 15°04'50" A*	04:49 VES 60 APO JUN 13°47'27" KRE 13°47'27" A*	
16:00 SON 72 VAR WAA 08°38'05" KRE 26°38'05" H +3	02:18 SON 144 NEP WAA 09°03'25" FIS 03°03'26" A W	02:47 URA 150 VES WID 10°32'57" JUN 10°32'57" A*	16:16 SON 45 VEN WAA 11°35'59" KRE 26°35'59" A K	14:01 MAR 135 PLU LÖW 24°02'50" STE 09°02'51" A	09:07 VEN 144 ERI SKO 28°29'19" WID 22°29'20" T -4	18:02 MAR 135 URA LÖW 25°21'43" WID 10°21'43" T -4	07:11 MER 150 URA SKO 10°20'23" WID 10°20'24" H +1	18:55 VEN 60 GSZ SCH 02°14'54" WAA 02°14'55" A	08:36 MAR 120 GaZ LÖW 26°56'13" SCH 26°56'13" T -4	
21:47 MER 120 NEP SKO 03°03'39" FIS 03°03'40" A W	02:49 SON 30 KN1 WAA 09°04'42" SKO 09°04'41" H K +6	03:16 MER 72 MAR LÖW 22°33'25" KRE 26°39'48" H ---	17:39 VEN 120 VAR SKO 26°39'49" KRE 26°39'48" T -4	19:30 MAR 90 SED LÖW 24°11'10" STI 24°11'10" T -4	11:31 SON 90 APO WAA 13°22'36" KRE 13°22'35" H +3	11:31 MER 120 CHI SKO 09°56'57" FIS 09°56'56" A	22:08 PAL 45 FY9 LÖW 14°44'37" JUN 29°44'37" A*	17:33 JUN 60 CER KRE 19°13'32" JUN 19°13'32" H* +5	21:32 VEN 90 NEP SCH 02°53'52" FIS 02°53'50" T K -2	
23:02 VEN 30 QUA SKO 23°34'06" SCH 23°34'05" H +2	05:21 SAT 60 VES SKO 10°08'23" JUN 10°08'22" A*	04:25 SON 150 CHI WAA 10°07'41" FIS 10°07'41" A	20:17 MAR 120 QUA LÖW 23°35'53" SCH 23°35'53" A		16:12 MER 45 QUA SKO 08°37'08" SCH 23°37'07" H +1		19:40 MER 0 SAT SKO 10°52'07" SKO 10°52'08" A K?	21:46 MER 45 GaZ SKO 11°56'12" SCH 26°56'13" A		
	06:03 SON 135 SED WAA 09°12'39" STI 24°12'40" A	07:36 SON 30 SAT WAA 10°15'32" SKO 10°15'32" T ---	23:33 VEN 30 GaZ SKO 26°56'13" SCH 26°56'14" T -2		20:47 MER 0 KN1 SKO 08°49'35" SKO 08°49'36" A		21:36 SON 60 PAL WAA 13°47'28" LÖW 13°47'28" A	21:48 MAR 72 KN1 LÖW 26°39'56" SKO 08°39'56" A	23:21 MAR 30 VAR LÖW 26°42'16" KRE 26°42'17" HI 0 / +10	
	06:38 CHI 180 VES FIS 10°09'50" JUN 10°09'51" A*	09:02 PAL 135 GaZ LÖW 11°56'15" SCH 26°56'15" A*		08:51 VEN 45 PLU SKO 24°01'32" STE 09°01'31" A	14:13 SON 180 URA WAA 10°31'48" WID 10°31'48" H +6					
		09:38 SAT 120 CHI SKO 10°09'33" FIS 10°09'32" A*	17:06 VEN 135 URA SKO 25°31'30" WID 10°31'31" H +2							
	12:48 VEN 180 SED SKO 24°12'34" STI 24°12'33" A	19:53 CER 144 ERI JUN 16°30'49" WID 22°30'50" H* +5								
	18:08 MER 90 JUN SKO 04°05'52" WAS 04°05'51" T -1	20:29 MER 60 ORC SKO 05°24'40" JUN 05°24'39" A								

Oktober 2013  **Prognose für SW-Deutschland**

Langsamläufer-Impulse	H*		HF*		H*		HF*, H*	2H*	2H*		
Schnellläufer-Impulse	H	3T, H	2T	H, 2T	3T, H	H	2H, 2T	T, H		H, 2T, HF	
Temperaturimpulse		W, K			W, K	W?, 2W		W			
Premeteo-Index -zyklonal, + antizyklonal (Index 1+2+3)	14	2	4	-3	1	5	17	27	7	25	
Pre.IX (ALTERNATIV)											
Index 1 (12 - 12 UTC) exakte Aspekte des Tages	0	2	6	-3	-13	5	17	20	7	25	
Index 1(ALTERNATIV)											
Symmetrien (0 - 0 UTC)	Ura 8op Son GSZ (08) H H*(3/1) +?? Ven 23 Sat GaZ (10) H*(12,5/2) +14 Hau 44 Ven Orc (20) T T* T -14				Qua 15 Ven Plu (09) A W? --- GSZ 44 Pal Mer (09) H* H A +14 Nep 3op Mar Orc (11) H ?* +??		Sed 150 Son Qua (15) H A*(9) A +7 Eri 2op Son Hau (19) H ? * +??	Son 23 GSZ Mer (06) H --- Chi 8op Mar Ves (08) T A* -??			
Index 2 (12 - 12 UTC) Index 2 ALTERNATIV	14	0	0	0	14	0	0	7	0	0	
ausgelöste LL-Aspekte			Ven 45 Hau T-2 Jup 90 Hau H6 Cer 30 Hau H5 Orc 45 Hau T-11	Jup 90 Hau H6 Cer 30 Hau H5 Orc 45 Hau T-11							
Index 3 (Summe)	0	0	-2	0	0	0	0	0	0	0	
Index 3 ALTERNATIV											
Symbol-Prognose	2	3	3	3	3	3	2	2	2	2	
Wochentag	Fr	Sa	So	Mo	Di	Mi	Do	Fr	Sa	So	
Datum	11	12	13	14	15	16	17	18	19	20	
reale Wetterlage	5T - 2H*, 2H / +22		H3: HF* - 2T / +4	T3: 5T - H*, 2H / -2		H4: HF*, 3H*, 4H - 3T / +59			T4: 2H* / +7	H5: ---	
Luftdruck (hpa) 06 UTC	1012,9	1017,5	1021	1018,6	1013,7	1015,5	1019,6	1020,1	1015,8	1016,2	
mittl. Temp.(°C)	7,4	5,2	9	12,9	11,9	11,5	13,2	12,1	14,5	15,4	
Sonnenscheindauer (h)	1,5	1	6,8	1	.	3,1	3,5	8,4	8	0,4	
Niederschlag (Liter)	1 / 7,5	2 / 1	6 / 3	4 / 8	27 / 32	0,9 / 15	.	.	5	13 / 19	
Bodenwetterlage 00 UTC (Kernlage des Druckgebets, das SW-D beeinflusst)	T ü Benel, T ü N-Ital	T ü F, T ü O-Eu	H ü Alpen, T ü NL	T ü GB	T ü Nsee	fl H ü GB	T ü Nsee, H ü Bisk u Alpen	H ü S-D	SW-D zw T ü O- Atl u H ü NO-D	T w Irland, H ü SO-Baklan	
Bodenströmung 12 UTC zyklonal (z), antizyklonal (a)	z	z	fl a	fl z	z	a	a	a	fl z	fl a	
Strömung auf 500 hpa 00 UTC	z	z	z	SW z	W z	NW z	W fl a	Nw fl a	W a	SW fl a	
zutreffende Wettersymbole	5 f	5 hr	3 r	5 hr	5 hr	5 hr	3 hr	2 r	2 hr	5 f	

01:05	05:15	05:58	04:23	06:44	03:19	00:11	03:15	05:46	01:55
SON 135 NEP WAA 17°53'09" FIS 02°53'08" A	MER 120 APO KRE 14°00'56" T -1	MER 45 FY9 JUN 29°50'45" T -1	MAR 45 APO LÖW 29°14'04" KRE 14°14'04" H ---	MAR 30 FY9 LÖW 29°53'28" JUN 29°53'28" T -8	VEN 30 PLU SCH 09°09'26" STE 09°09'26" A W?	MER 45 GSZ SKO 11°56'11" WAA 02°14'57" H +1	SAT 45 GaZ SKO 11°56'11" SCH 26°56'11" H*(12,5/2) +7	MAR 30 GSZ JUN 02°14'57" WAA 02°14'57" A	MAR 180 NEP JUN 02°44'49" FIS 02°44'50" H +8
07:18	06:32	06:01	10:22	09:49	14:30	00:37	13:20	13:51	02:00
CER 135 JUN JUN 19°51'04" WAS 04°51'05" A*	VEN 60 JUN SCH 04°58'01" WAA 04°58'01" H W ---	SON 0 EL6 WAA 20°04'06" A	SON 30 CER WAA 21°14'16" JUN 21°14'16" A	VEN 144 APO SCH 08°22'16" KRE 14°22'16" T W -2	VEN 90 CHI SCH 09°39'32" FIS 09°39'31" A W	CER 150 ERI JUN 22°22'58" WID 22°22'58" H* +11	VEN 135 VAR SCH 11°44'59" KRE 26°44'58" T ---	PAL 60 EL6 LÖW 20°13'15" WAA 20°13'16" H* +10	MER 60 VES SKO 18°16'43" JUN 18°16'43" A
07:22	08:17	14:42	10:33	09:53	22:05	06:51	18:13	15:11	04:15
SON 144 SED WAA 18°08'41" STI 24°08'40" A	VEN 45 EL6 SCH 05°02'48" WAA 20°02'47" T -4	PLU 135 SED STE 09°07'33" STI 24°07'33" A*(2/2,5)	MER 60 VES SKO 15°43'16" JUN 15°43'17" A	VEN 30 KN1 SCH 08°22'27" SKO 08°22'27" T K -4	VEN 120 URA SCH 09°59'54" WID 09°59'54" H W +2	JUN 150 ORC WAS 05°39'30" JUN 05°39'30" A*	VEN 72 FY9 SCH 11°58'01" JUN 29°58'02" H +2	NEP 144 VAR FIS 02°45'11" KRE 26°45'11" H* +10	SON 60 GaZ WAA 26°56'12" SCH 26°56'11" A
17:00	15:10	14:53	12:26	14:27	23:23	07:33	19:17	23:51	06:31
CER 30 EL6 JUN 20°01'51" WAA 20°01'51" H* +5	SON 90 JUP WAA 19°27'20" KRE 19°27'20" AK	PAL 45 GSZ LÖW 17°14'57" WAA 02°14'56" H* +11	VEN 135 ERI SCH 07°24'28" WID 22°24'29" A	SON 180 ERI WAA 22°23'49" WID 22°23'50" H +6	SON 60 QUA WAA 23°45'27" SCH 23°45'26" A	SON 150 SED WAA 24°05'42" STI 24°05'41" H +3	VEN 30 SAT SCH 12°00'52" SKO 12°00'52" A W	SON 90 VAR WAA 26°45'16" KRE 26°45'15" A	CER 90 QUA JUN 23°48'32" SCH 23°48'32" A*
17:41	20:04	18:52	16:32	22:06	18:30	20:44	22:23	11:03	
VEN 135 JUP SCH 04°22'58" KRE 19°22'57" H +2	VEN 90 ORC SCH 05°34'53" JUN 05°34'52" T -4	SON 45 ORC WAA 20°35'53" JUN 05°35'53" T -3	MAR 72 SAT LÖW 29°32'15" SKO 11°32'14" T -4	VEN 144 ERI JUN 16°23'38" WID 22°23'38" H* +5	GSZ 144 KN2 WAA 02°14'57" STI 08°14'57" H*(12,5/1) +13	CER 45 KN1 JUN 23°11'29" SKO 08°11'29" A*	JUP 30 PAL WAA 19°54'14" LÖW 19°54'14" H* +5	SON 72 PLU WAA 27°13'05" STE 09°13'05" T -3	SON 72 PLU WAA 27°13'05" STE 09°13'05" T -3
			23:07			22:57	20:17	18:11	
			MER 144 URA SKO 16°04'29" WID 10°04'29" T -1			SON 135 CHI WAA 24°37'16" FIS 09°37'18" T ---	MER 72 ORC SKO 17°40'10" JUN 05°40'11" T ---	VEN 144 JUP SCH 14°00'26" KRE 20°00'26" Hf 0/+8	VEN 144 KN2 SCH 14°00'26" STI 08°05'28" A W?
								20:27	
								CER 120 SED JUN 24°03'48" STI 24°03'48" A*	
								21:46	
								VEN 72 GSZ SCH 14°14'57" WAA 02°14'58" T -2 / 0	

Oktober 2013  **Prognose für SW-Deutschland**

Langsamläufer-Impulse				H*		H*		H*		H*	
Schnellläufer-Impulse	2T			3T, H	2H	Tf	H, 2T	2T, Tf	Hf	H, 2T	2T
Temperaturimpulse	K			K	W	K	W?		K, K?	W	W, K
Premeteo-Index - zyklonal, + antizyklonal (Index 1+2+3)	-2	1	0	13	9	13	20	-9	5	-15	-15
Pre.IX (ALTERNATIV)	6			-7	-11	1	-4		13		
Index 1 (12 - 12 UTC) exakte Aspekte des Tages	-2	-6	0	13	9	6	6	-16	5	2	-12
Index 1 (ALTERNATIV)	6			5	1				13		
Symmetrien (0 - 0 UTC)	GSZ 72 Ven Jup (03) T H* Hst -??	Cer 5 Ves Mak (03) H?*(4/1/2) H* +?? Cer 165 Ura Chi (05) H (8/3) +?	Ven 75 Nep GSZ (23) ?* ---	Mar 45 Jup Hau (08) T H H* +??	Pal 121 Oua Eri (13) A* H* A* (5/4) +? Mar 30p Nep Chi (16) H T +??		Var 144 Ven Nep (06) H H* A W? +14/0 Qua 3 Ven GSZ (07) A ? ? ? Cer 5 Ves GSZ (09) H?*(4/1/2) A* +??	Pal 135 Ura Plu (11) H* A* A?*(2,5/2) +? Mak 36 Son Pal (23) T ---	Plu 135 Pal Sed (01) A* A?*(2/2,5) H* ---	Mak 2 GSZ Cer (07) ? H* ? Cer 22 Orc Hau (07) T -14	Son 164 Sed Eri (09) ? 0 Nep 70p Mar Pal (11) H A* +?? Mer 3 Son Sat (18) H A K? +? GSZ 36 Son Pal (19) T ---
Index 2 (12 - 12 UTC)	0	7	0	0	0	7	14	7	0	-14	0
Index 2 (ALTERNATIV)											
ausgelöste LL-Aspekte				(Mer 72 Orc T-1) (Orc 45 Hau T-1) Erfahrung vom 19. November 2011!	(Mer 72 Orc T-1) (Orc 45 Hau T-1) Erfahrung vom 19. November 2011!	(Mer 72 Orc T-1) (Orc 45 Hau T-1) Erfahrung vom 19. November 2011!				Son 72 Pal T-3 Son 180 Kn2 T(-3)	Son 72 Pal T-3 Son 180 Kn2 T(-3)
Index 3 (Summe)	0	0	0	0	0	0	0	0	0	-3	-3
Index 3 (ALTERNATIV)				-12	-12	-12					
Symbol-Prognose	3	3	3	2	2	2	2	3	3	5	5
	3	3	3	3	5	3	3	3	3	5	5
Wochentag	Mo	Di	Mi	Do	Fr	Sa	So	Mo	Di	Mi	Do
Datum	21	22	23	24	25	26	27	28	29	30	31
reale Wetterlage	Hf, H - 4T / +24		T5: H* / 0	H6: H*, 3H - Tf, 3T / +35			T6: Tf, 4T - 2H*, H / +11		H7: Hf, H - 4T / -25		
Luftdruck (hpa) 06 UTC	1018,3	1013,3	1008,7	1018,8	1016,6	1016,2	1014,9	1005,7	1016,2	1024,7	1027,1
mittl. Temp.(°C)	14,7	15,6	15,2	14,2	13,5	18,6	16,5	17,8	11,8	8,4	4,6
Sonnenscheindauer (h)	2,1	4	.	9,2	1,4	7,5	3,8	3,3	3,1	8,9	4,9
Niederschlag (Liter)	0,0	0,0	3/2,5	.	.	6	2/7,5	0,0	0,2	.	.
Bodenwetterlage 00 UTC (Kernlage des Druckgebiets, das SW-D beeinflusst)	H ü Kauka, T ü M*, O-Atl	H ü Türk, T ü O-Atl	T ü GB	H ü O-F	H ü S-R	H ü SchwarzM	T w Schottl	T ü GB	T ü Nm u Osee	H ü NW-Iber	H ü O-Eu
Bodenströmung 12 UTC zyklonal (z), antizyklonal (a)	a	a-z	fl a/z	a	fl a	fl a	z	z	a	a-z	a-z
Strömung auf 500 hpa 00 UTC	SW a-z	SW a	SW a-z	SW a-z	SW fl a	Sw fl a	SW a-z	SW a-z	SW z	SW z	W a-z
zutreffende Wettersymbole	5 hr	3 r	5 hr	2 r	5 f	2-3 r	3-5 f	3 r	3 r	2 f	2 f

11:47	07:44	05:10	05:28	16:32	01:17	03:39	02:40	01:58	00:15
JUP 72 KN2 KRE 20*03'08" STI 08*03'08" A*	SON 30 FY9 SKO 00*03'52" WAA 00*03'52" A	MAR 0 ORC JUN 05*11'17" KRE 20*11'18" T ---	MAR 0 ORC JUN 05*46'59" KRE 20*17'29" Tf K 0/-8	VEN 150 JUP SCH 20*23'37" KRE 20*17'30" A	VEN 72 NEP SCH 20*40'01" FIS 02*40'01" A W?	MER 45 FY9 SKO 15*09'48" WAA 00*09'48" T -2	SON 60 ORC SKO 05*50'13" JUN 05*50'14" A	MER 45 CER SKO 13*04'14" JUN 28*04'12" A	MER 45 GaZ SKO 11*56'10" SCH 26*56'09" A
16:25	21:30	07:28	11:27	18:55	01:26	05:01	05:25	07:05	06:09
VEN 150 APO SCH 15*04'12" KRE 15*04'12" TK -2	PAL 120 ERI LOW 22*18'53" WID 22*18'52" H* +5	MER 30 VEN SKO 17*49'31" SCH 17*49'31" TK ---	MER 45 GSZ SKO 17*14'60" WAA 02*14'59" H +1	VEN 60 EL6 SCH 20*23'37" KRE 20*23'37" A	CER 60 VAR JUN 26*45'58" KRE 26*45'58" A*	PLU 135 PAL STE 09*20'58" LOW 24*20'57" A*	VEN 45 JUN SCH 23*53'25" WAS 07*53'25" Hf K 0/+8	VEN 150 SED SCH 23*58'31" STI 23*58'30" H +2	MAR 180 CHI JUN 09*17'57" SCH 09*17'58" T -8
20:59	07:59	12:23	03:36	07:23	03:36	07:23	17:47	07:23	10:51
MAR 144 URA JUN 03*48'31" WID 09*48'31" T -4	JUP 60 VES KRE 20*11'37" JUN 20*11'37" A*	SON 30 GSZ SKO 02*14'58" WAA 02*14'59" A	VEN 144 VAR JUN 90 KN1 SCH 20*45'58" KRE 26*45'58" H +2/0	VEN 45 KN1 JUN 22*36'55" SKO 07*41'28" A*	VEN 45 KN1 JUN 22*36'55" SKO 07*41'28" A*	VEN 0 QUA SCH 23*59'17" SCH 23*59'17" A	MAR 120 PLU JUN 09*24'46" STE 09*24'45" AW	MAR 150 URA JUN 09*27'45" WID 09*27'46" A	MAR 150 URA JUN 09*27'45" WID 09*27'46" A
	10:34	15:10	05:11	11:01	10:51	11:01	20:49	19:50	12:55
	MAR 72 ORC SKO 17*46'18" JUN 05*46'17" T ---	JUP 72 GSZ KRE 20*14'59" WAA 02*14'59" H* +6	MAR 45 EL6 JUN 05*20'18" WAA 20*20'18" H +8/0	SON 120 NEP SKO 02*40'41" SKO 02*40'41" FIS 02*40'41" A W	CER 90 GaZ JUN 26*56'09" SCH 26*56'10" A*	PLU 60 CHI STE 09*21'15" FIS 09*21'15" A?*(3/3)	SED 150 QUA STI 23*58'45" SCH 23*58'45" A*(9)	SON 72 PAL SKO 07*33'22" LOW 25*33'23" T -3	VEN 135 JUN JUN 23*24'21" WAS 08*24'21" A*
	11:18	22:42	15:58	11:09	13:11	14:19	20:49	20:01	17:32
	VEN 30 EL6 JUN 20*20'35" WAA 20*20'35" A*	MAR 72 MAR SKO 17*34'27" JUN 05*34'27" A	MAR 72 MAR SKO 17*34'27" JUN 05*34'27" A	PAL 90 SED LOW 24*00'09" STI 24*00'08" H* +5	MAR 60 KN1 JUN 07*40'57" SKO 07*40'57" Tf -10	CER 72 APO JUN 27*58'59" KRE 15*58'59" A*	PAL 72 KN1 LOW 25*33'27" SKO 07*33'27" H* +5	SON 90 JUN SKO 08*27'20" WAS 08*27'19" A	SON 90 JUN SKO 08*27'20" WAS 08*27'19" A
	20:56	13:11	14:19	16:35	14:46	16:00	22:56	23:32	23:49
	MER 144 URA SKO 15*35'46" WID 09*35'46" T -2	VEN 120 ERI SCH 22*16'05" WID 22*16'05" T -2	MAR 135 ERI JUN 07*16'35" WID 22*16'35" A	MER 120 APO MAR 150 JUN SKO 15*43'24" JUN 07*45'12" KRE 15*43'25" WAS 07*45'12" T -1	MAR 150 JUN JUN 07*45'12" WAS 07*45'12" A	SAT 45 CER SKO 13*27'22" JUN 28*27'22" A*	SON 45 VEN SKO 08*32'16" JUN 23*32'15" A	MER 45 VEN SKO 11*56'10" SCH 25*41'01" TK -1	MER 45 VEN SKO 11*56'10" SCH 25*41'01" TK -1
	18:42	16:00	22:56	23:32	23:49				
	MAR 135 ERI JUN 07*16'35" WID 22*16'35" A	URA 135 PAL WID 09*33'42" LOW 24*33'42" H* +5	VEN 150 ERI JUN 22*15'53" WID 22*15'53" A*	VEN 45 KN1 SCH 22*39'17" SKO 07*39'18" A					